

粗滑遷移領域における桟粗度の抵抗特性について

楊 永荻*・大同淳之**

乱流の粗滑遷移領域における流水抵抗の機構は壁面の粗度の配列によって異なる。本論文では、桟粗度背後の剝離流及び流水抵抗の実験結果に基づいて、粗度後流の剝離域の長さを変数として粗滑遷移領域の桟粗度の抵抗式が提案された。桟粗度の抵抗は、滑面と粗面においてはそれぞれレイノルズ数および相対粗度で表されるが、遷移領域においてはそのほかに k_s/k のパラメータが増えることが明らかになった。

Key Words : smooth-rough transition region, strip roughness, flow resistance, separation flow

1. まえがき

桟粗度は実用的な人工粗度の一つとして、水理模型実験、河川護岸などに広く利用されている。従来、桟粗度の水理特性については数多くの研究、例えば、Jonson¹⁾, Powell²⁾, Morris^{3), 15)}, 足立⁴⁾, 山岡⁵⁾, 古屋¹⁷⁾, Knight²⁰⁾ 等があるが、大部分は、乱流の粗面に限って行われ、粗滑遷移領域についてはなされていない。一様砂粒壁面の抵抗については Nikuradse⁶⁾ によって層流域から乱流の各領域まで流水抵抗の実験結果が得られている。しかしながら、Fig.1 に示すように、Colebrook and Whihe⁷⁾ の実験による市販管と非一様砂についての流水抵抗は Nikuradse の結果と相違している。これは、粗度の配列によって、粗滑遷移領域における抵抗特性の違いがあることを示唆している。

桟粗度周りの流れでは流れの外部条件によって、粗度背後に剝離流が存在する。流れのエネルギー損失の大部分は壁面近くで生じるので、この剝離流が流れの抵抗に大きな影響を及ぼす。三次元的な形状の物体の下流部の流れの構造に関しては、高橋⁸⁾, Chen⁹⁾, Okamoto^{10), 11)}, 玉井^{12), 13)}, Furuya¹⁶⁾ などによって検討され、粗度下流部の剝離流の発達によって、床面の形状抵抗が増加するということが明らかにされている。従って、粗度後流の流れの構造を明かにすることは流水抵抗の特性の解明に役立つと思われる。

本論文は、円柱粗度後流の剝離構造および各種桟粗度の流れの抵抗について実験的に調べるとともに、粗度背後の剝離流の変化特性と流水抵抗との関係、とくに乱流粗滑遷移領域におけるその抵抗特性を検討した。また、

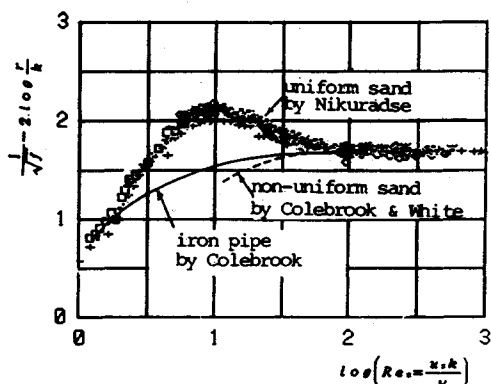


Fig.1 Resistance characteristic of uniform sand by Nikuradse and non-uniform sand and iron pipe by Colebrook and Whihe

導いた結果に基づいて、Nikuradse による一様砂粒粗度の実験データを考察し、桟粗度と一様砂粒粗度との抵抗特性の相違点を明らかにしたものである。

2. 実験概要

実験に用いた水路は長さ 14.3 m, 幅 0.15 m, 高さ 0.75 m の鋼製開水路である。実験は Fig.2 に示すように、水路の側面に流れに対して垂直な方向に桟粗度を設置し、桟粗度の大きさと相対桟間隔を変化させて行った。各実験 case の粗度の配置は Table 1 に示す。水路に沿って設置された 5 本の水位計によって、水面勾配と水深を求めた。

各実験はアスペクト比 b/h が 0.12 以下で行った。ここに、 b は水路の半幅、 h は水深である。筆者らはこのような条件下での側面の抵抗は 2 次元流として扱われることを検証した¹⁸⁾。Fig.3 は側面に砂粒（直径 $d=1.6$ mm）を貼り付けた水路における $b/h=0.107$ のときの側面せん断力分布の一例であり、壁面せん断力は流速分

* 学生会員 工修 立命館大学大学院理工学研究科
(〒603 京都市北区等持院北町 56-1) (現九州大学建設都市工学科助手)

** 正会員 工博 立命館大学教授 理工学部土木工学科

Table 1 Experimental conditions

No	shape	height of roughness k (cm)	width of roughness w (cm)	distance of roughness elements L/k	relative height of roughness b/k	chart
1	circular bar	0.4	0.4	12	17.38	
2		1.0	1.0	8	6.3	
3		1.0	1.0	4	6.75	
4		1.0	1.0	2	7.0	
5		1.5	1.5	16	6.0	
6		1.5	1.5	8	6.0	
7		1.5	1.5	4	6.0	
8	rectangular bar	1.0	0.5	6	6.44	
9		1.0	1.0	16	7.20	
10		1.0	1.0	8	6.4	
11		1.0	1.0	4	7.65	
12		1.0	1.0	2	7.65	
13		1.0	2.0	32	5.85	
14		1.0	2.0	16	7.5	
15		1.0	2.0	8	7.55	
16		1.0	2.0	4	6.45	

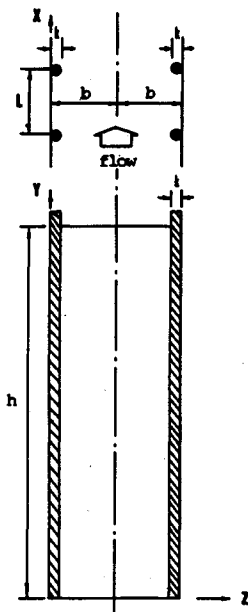
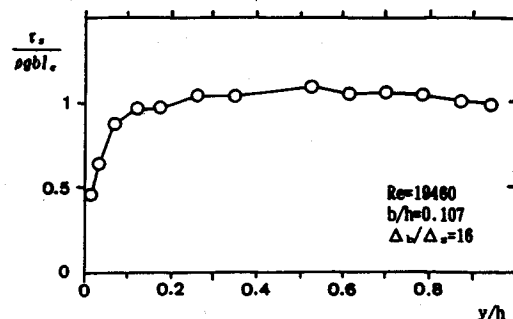


Fig.2 General view of experimental channel

布のデータから算定した。図より、側面せん断力は底面近くの $y/b=1.60$ 以内では小さいが、それより上部では一様で、 $\tau_s = \rho g b I_e$ に一致する。この水路は側面に粗度を設置することで、相対粗度 b/k の値を一定にし、流水抵抗則の評価を行うことができる。ここに、 τ_s は側面せん断力、 ρ は流体の密度、 g は重力加速度、 I_e は

Fig.3 Boundary shear stress distribution along side wall in open channel flow with $b/h=0.107$

エネルギー勾配、 k は粗度の高さである。また、幅広い開水路流より、自由水面と不等流の影響を小さくすることができます。特に、相対粗度の小さいとき、水面波が水面勾配の測定に及ぼす影響を避けられるという利点を有する。

また、粗度後流の流れの構造と流水抵抗との関係を究明するために、長さ 13.0 m、幅 0.3 m の勾配可変式開水路で粗度の下流方向の流速分布と乱れ強度分布を測定し、粗度後流の剥離域の変化特性を調べた。流速の計測は超小型プロペラ式流速計 ($\phi=3$ mm) を用いた。流速計の計測範囲は 2.5 ~ 80.0 cm/sec である。剥離域の境界はプロペラの回転方向によって判断し、また、カラーラインクを用いたトレーサー法によって、局部的流況を可視化して、粗度を越える流れの剥離点および粗度下流の再

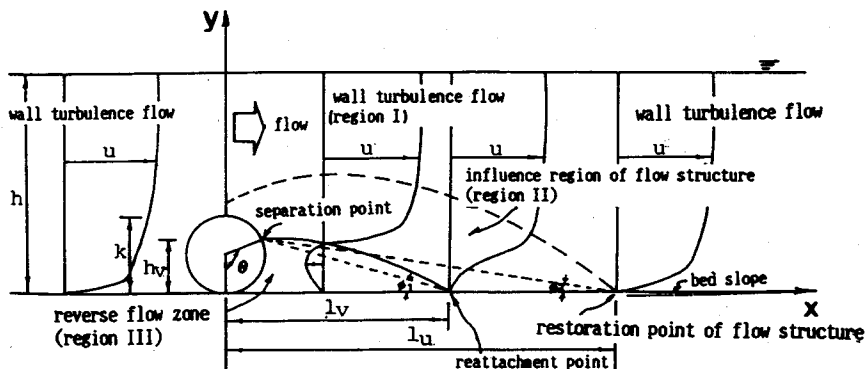
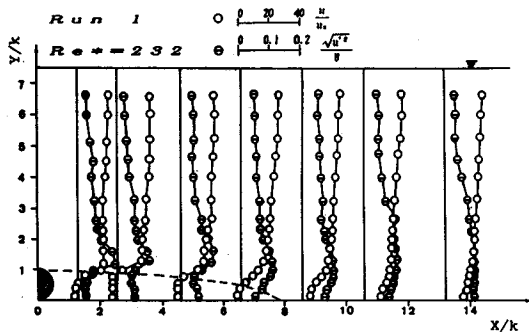
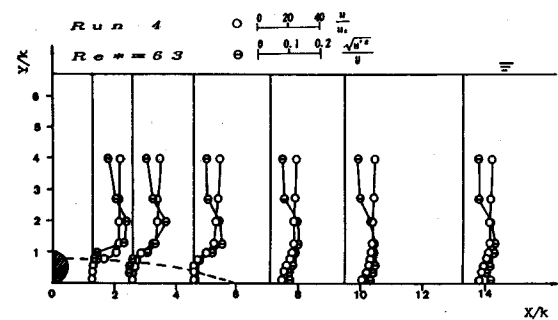
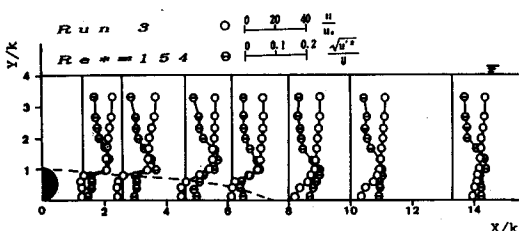
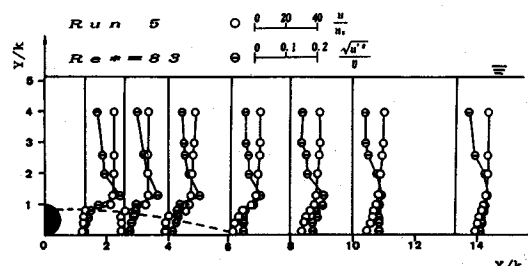


Fig.4 Regions of roughness wake

Fig.5(a) Velocity and turbulent intensity distribution behind roughness element with $Re_* = 232$ Fig.5(c) Velocity and turbulent intensity distribution behind roughness element with $Re_* = 63$ Fig.5(b) Velocity and turbulent intensity distribution behind roughness element with $Re_* = 154$ Fig.5(d) Velocity and turbulent intensity distribution behind roughness element with $Re_* = 83$

付着点を判断し、それぞれの境界点とした。

3. 粗度後流の流れの構造

本報の対象は、粗度の大きさが水深より比較的に小さい床面上の流れとする。ここで、粗度は壁面の粗さとすると、流れの平均要素（水面勾配、水深、平均流速など）は粗度より下流方向で局所的な変化が無視できる。粗度後流の流れは Fig.4 に示すように、粗度の上流側の流れの特性が保存されるいわゆる壁面乱流における流速対数分布則が成立する領域 I、粗度が流れの構造に影響を及ぼし、流速分布が対数則から偏離する領域 II、および粗度背後で流れが逆流になる剥離域の領域 IIIに区分さ

れる。

(1) 流速分布と乱れ強度分布

Fig.5 は各レイノルズ数 Re_* ($Re_* = u_* k / \nu$, u_* は摩擦流速, $u_* = \sqrt{g R I_e}$, R は径深, ν は流体の動粘性係数) のもとで粗度の下流方向の流速分布と乱れ強度分布の変化を示したものである。粗度下流の剥離域の大きさはレイノルズ数の変化によって違い、 Re_* が 100 以上のとき一定になって、ほぼ $x/k = 7.5$ と認められる。流速は順流、逆流の交差のところで急激に変化するが、再付着点から離れると、流速分布は対数分布則に復元し、粗度要素の影響は小さくなり、壁面に支配される特性が強くなる。粗度要素の影響を受ける流速分布が対数則に復元さ

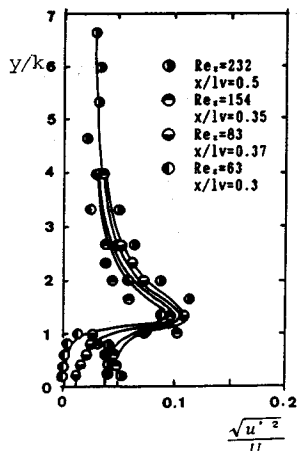


Fig.6 Turbulence intensity distribution with various Reynolds number in reverse flow zone



Fig.7 Variation of separation flow with Reynolds number Re_*

れる範囲はほぼ $x/k=12.5$ 以内である。乱れ強度は水面近くで粗度を越えて変わらないが、剥離域で急激に減少し、再付着点から下流は壁面流の乱れ強度の分布に漸近していく傾向が認められる。これは流速分布が示した結果と同様に、乱れ強度に粗度要素の影響を受ける範囲が存在することが理解される。Fig.6 は剥離域の乱れ強度分布のレイノルズ数による変化を示す。図は、レイノルズ数の増加に伴って剥離域の乱れ強度が大きくなることを示す。流れのエネルギー損失の大部分は壁面近くで生じるので、レイノルズ数の増加につれて粗度によるエネルギー損失が大きくなることを示す。

(2) 乱流の粗面と剥離域の変化

粗度後流の剥離域はレイノルズ数 Re_* の大きさによって生成、発達する。レイノルズ数 Re_* が滑面の臨界レイノルズ数 Re_{*s} を超えないとき、Fig.7 (a) のように、粗度を越える流れは剥離流を生じない。レイノルズ数 Re_* が Re_{*s} を越えると、Fig.7 (b) のように、粗度背後に剥離流を生じ、剥離域は Re_* の増加に伴って大きくなり、剥離点の位置は上昇する。しかし、レイノルズ数 Re_* が粗面の臨界レイノルズ数 Re_{*R} を越えると、Fig.7 (c) のように剥離域は時間的に変化せず、安定になる。

(3) 剥離域規模の解析

Fig.4 に示すように、粗滑遷移領域における粗度要素から再付着点までの剥離域の長さは幾何学的な関係から次式で表せる

$$\frac{lv}{k} = \frac{1}{2} \left\{ \sin \theta + \frac{1 - \cos \theta}{\tan \phi_1} \right\} \quad (1)$$

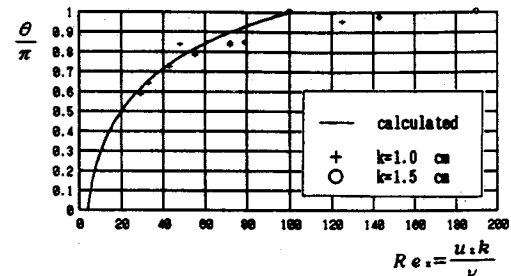


Fig.8 Variation of separation angle with Reynolds number Re_*

ここに、 lv は剥離域の長さ、 θ は粗度を越える流れの剥離開始の位置を表す剥離角度、 ϕ_1 はパラメータである。

Fig.8 はトレーサ法で求めた粗度後流の剥離開始の位置の剥離角度とレイノルズ数との関係を示す。実験データより、 Re_* が大きければ剥離角度が大きくなる。一方、 Re_* が Re_{*R} を越えると、剥離角度が安定し、その大きさが最大になる。そこで、 θ の変化率は次のように表せる。

$$\frac{d\theta}{dRe_*} = \frac{C}{Re_*} \quad (2)$$

$Re_* = Re_{*s}$ のとき、 $\theta = 0$; $Re_* = Re_{*R}$ のとき、 $\theta = \pi$ ここに、 C は未定係数である。式(2)を解くと、剥離角度とレイノルズ数の関係は次式で表される

$$\frac{\theta}{\pi} = \frac{\ln \frac{Re_*}{Re_{*s}}}{\ln \frac{Re_*}{Re_{*R}}} \quad (3)$$

式(3)と実験データとの比較を Fig.8 に示す。式(1)のパラメータ ϕ_1 は剥離角 θ の増加に伴って小さくなる。そこで、次式のように表す

$$\phi_1 = \frac{A}{B + \theta} \quad (4)$$

ここに、 A と B は未定係数である。 ϕ_1 の境界条件は $\theta = 0$ のとき、 $\phi_1 = \pi/2$; $\theta = \pi$ のとき、 $\phi_1 = \phi_{1min}$ にする。 ϕ_{1min} は実験係数である。すると

$$\phi_1 = \frac{\phi_{1min}}{2 \frac{\phi_{1min}}{\pi} \left(1 - \frac{\theta}{\pi} \right) + \frac{\theta}{\pi}} \quad (5)$$

となる。

粗度を越える剥離流の剥離点の高さ hv は

$$\frac{hv}{k} = \frac{1}{2} (1 - \cos \theta) \quad (6)$$

となる。

同様の手法で、Fig.4 に示すように、流れの構造が粗度の影響を受ける範囲の長さは

$$\left. \begin{aligned} \frac{lv}{k} &= \frac{1}{2} \left\{ \sin \theta + \frac{1 - \cos \theta}{\tan \phi_2} \right\} \\ \phi_2 &= \frac{\phi_{2min}}{2 \frac{\phi_{2min}}{\pi} \left(1 - \frac{\theta}{\pi} \right) + \frac{\theta}{\pi}} \end{aligned} \right\} \quad (7)$$

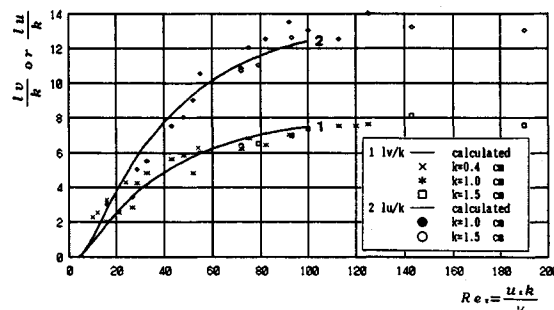


Fig.9 Comparison of calculated length of reverse flow zone by Eq.(1) and length of influence range of velocity by Eq.(7) with experimental data by Authors

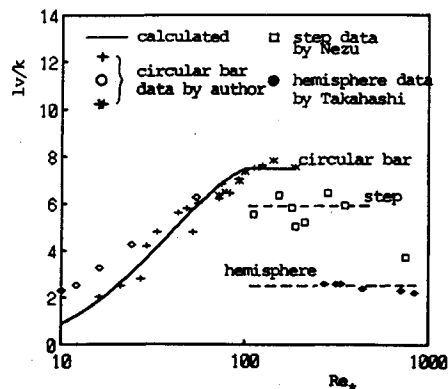


Fig.10 Comparison of length of reverse flow zone with experimental data of circular bar and step and hemisphere

となる。ここに、 l_u は粗度より流速分布の影響範囲の長さ、 $\phi_{2\min}$ は実験係数である。

実験データより、 $\phi_{1\min} = 7.6^\circ$ 、 $\phi_{2\min} = 4.6^\circ$ にする。臨界レイノルズ数についてはそれぞれ $Re_{*s} = 3.55$ 、 $Re_{*R} = 100$ が得られた。

Fig.9 は式(1)、式(7)と実験データとを比較したものである。 l_u は流速分布の対数則よりはずれる点より求めたものであり、 l_v は流速分布とトレーサー法で順流と逆流が生じる時間が相等しいところを判断して求めたものである。

Fig.10 は粗度後流の再付着点について円柱粗度のデータと段落ちおよび半球粗度のデータとを比較したものである。図は粗度の形状によって、剥離域の長さが違うことを示す。轟津らは相対水深の小さいとき、段落ちの実験結果から、フルード数あるいはレイノルズ数の増加と共に、剥離域の長さが若干小さくなることも指摘している¹⁹⁾。これより、相対粗度が大きい場合、剥離域の長さはフルード数の関数だと考えられる。

Fig.11 は流速分布によって求められた流速がゼロになる剥離域の逆流の界面線である。図より、レイノルズ

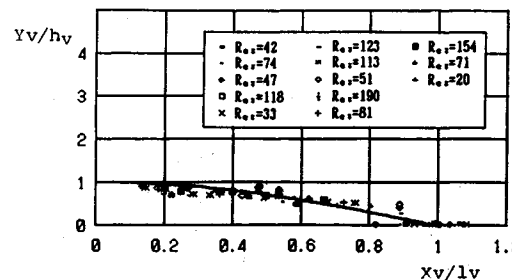


Fig.11 Comparison of calculated zero velocity line by Eq.(8) in reverse flow zone with experimental data by Authors

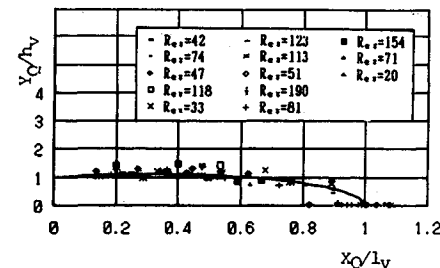


Fig.12 Comparison of calculated boundary line of reverse flow zone by Eq.(9) with experimental data by Authors

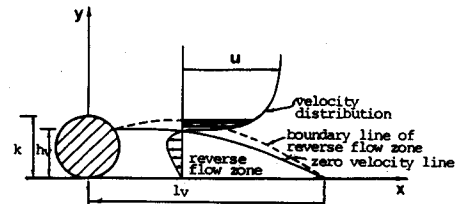


Fig.13 Schematic figure

数 Re_* の変化を伴うゼロ流速線は相似性を持つ。その実験式は

$$\frac{Y_v}{hv} = \cos\left(\frac{\pi}{2} \frac{X_v}{l_v}\right) \quad (8)$$

となる。ここに、 (X_v, Y_v) はゼロ流速境界線の座標である。

Fig.12 は順流が剥離域の逆流の流量と等しくなる線 (Fig.13 に示す)、いわゆる剥離域の境界線である。

Fig.13 に示すように、逆流域の外には逆流の流量と相等流量の順流の界面域が存在するはずである。図より、レイノルズ数 Re_* の変化を伴う剥離域の境界線は相似性を持つ。その実験式は

$$\frac{Y_Q}{h_Q} = 1.133 \sqrt{1 - \left[\frac{X_Q/l_v - 0.32}{0.6} \right]^2} \quad (9)$$

となる。ここに、 (X_Q, Y_Q) は剥離域の境界線の座標である。

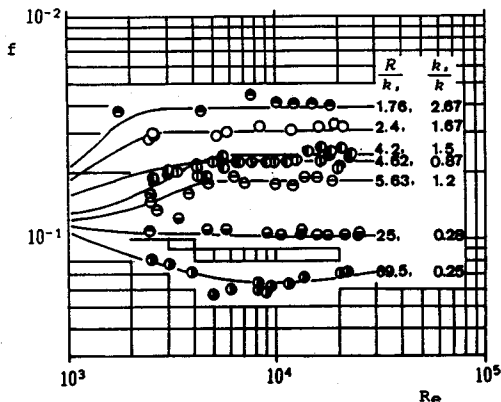


Fig.14(a) Comparison of calculated resistance coefficient by Eq.(20) with experimental data of circular bar by Authors

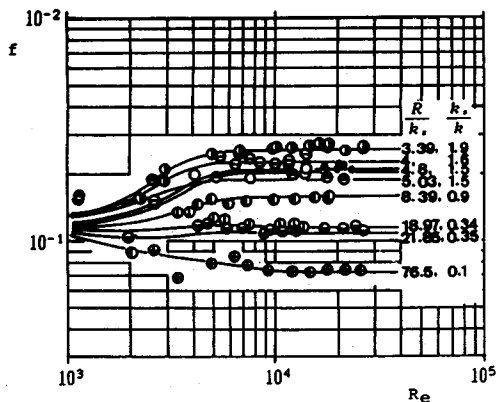


Fig.14(b) Comparison of calculated resistance coefficient by Eq.(20) with experimental data of rectangular bar by Authors

$$\left. \begin{aligned} \beta_s &= 4.05 \\ \beta_R &= 11.0 \\ \beta_* &= -3.6 \end{aligned} \right\} \quad (22)$$

となる。

粗面領域における流水抵抗は相対粗度のみの関数で、レイノルズ数と無関係であるので、式(20)の中で $Re_s = 100$ とすると、式(20)は粗面の抵抗係数式になる。従って、式(20)は乱流の三つの領域に適合する普遍式といえる。

5. 考 察

(1) Nikuradse の管流の実験データへの適用

Nikuradse は管路における一様砂粒粗度の抵抗実験を行い、層流から乱流まで抵抗係数の変化図を得た。しかしながら、粗滑遷移領域の抵抗計算についてはまだ完成していない¹⁴⁾。乱流が滑面から粗面へ遷移するとき、一様砂粒を越える剝離流は後の砂粒が剝離域に埋められるほかは棧粗度と同様と思われる。前述で導いた剝離域の

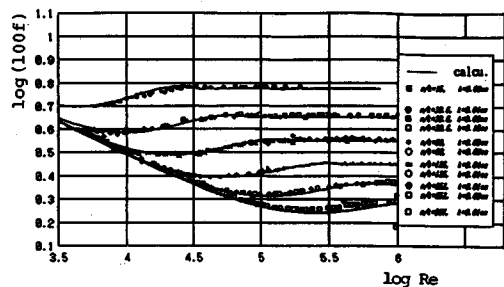


Fig.15 Comparison of calculated resistance coefficient by Eq.(24) with experimental data by Nikuradse

長さで表す粗滑遷移領域の抵抗係数式はその抵抗とレイノルズ数および相対粗度との関係を表現したので、一様砂粒粗度の場合にも適用可能である。

粗度を密着付けた場合には、粗面の相当粗度の大きさは砂の幾何的高さ、すなわち $k_s = k$ となる。一般に、管流の抵抗係数は次のように定義される。

$$f = 8 \left(\frac{u_*}{V} \right)^2 \quad (23)$$

式(23)に式(13)の平均流速を与えると、管流の粗滑遷移領域における一様砂粒粗度の抵抗係数は

$$f = \frac{8}{\left\{ \frac{1}{k} \ln \left(\beta_s \exp(\beta_* l_v) \frac{u_* k_s R}{\nu} \right) \right\}^2} \quad (24)$$

となる。

Fig.15 は式(24)と Nikuradse の管路における実験データとの比較したものである。式(24)のパラメータに棧粗度と同じ値を用いた結果、計算値と実験値はよく一致した。これは、本研究で得た粗滑遷移領域における粗度後流の剝離モデルが一様砂粒粗度の場合にも適用可能であることを示している。

(2) 棧粗度と一様砂粒粗度との抵抗特性の相違点

Fig.16 (a) は $k_s/k = 1.5$ の場合、式(20)によって棧粗度の抵抗係数と一様砂粒粗度の抵抗係数 ($k_s/k = 1$) とを比較したものであり、Fig.16 (b) は $k_s/k = 0.75$ の棧粗度と一様砂粒粗度とを比較したものである。図より、滑面と粗面において棧粗度と一様砂粒粗度との抵抗則はまったく同等であるが、粗滑遷移領域において棧粗度ではパラメータ k_s/k が増え、図中の斜線域が両者の差を示していることが分かる。これが棧粗度の重要な特性の一つである。

Fig.17 は従来よく用いられている粗滑遷移領域での抵抗係数と Re_s との関係において棧粗度の抵抗係数が k_s/k による変化を示したものである。縦軸は相対粗度 (R/k_s) を含む抵抗係数である。図中の $k_s/k = 1$ の線は一様砂粒粗度のものである。

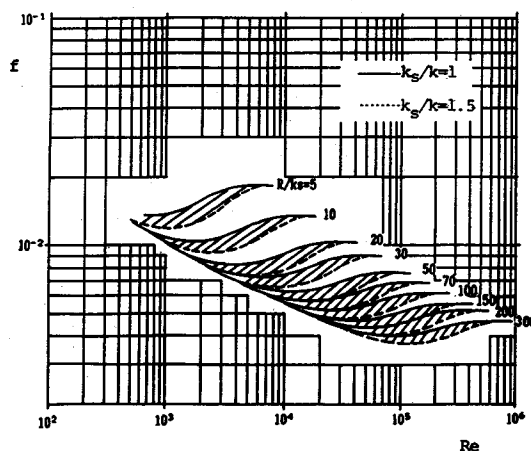


Fig.16(a) Comparison between the predicted resistance coefficient with $k_s/k=1.5$ and Nikuradse's roughness ($k_s/k=1$) by Eq.(20)

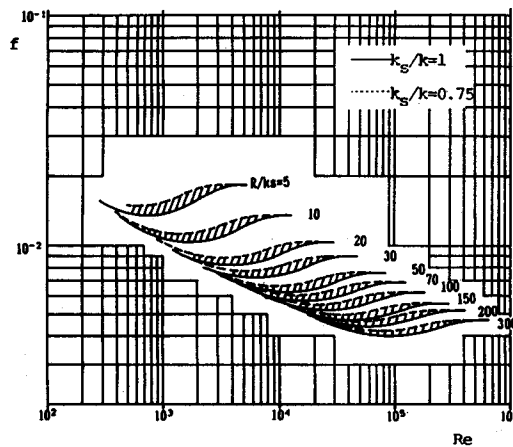


Fig.16(b) Comparison between the predicted resistance coefficient with $k_s/k=0.75$ and Nikuradse's roughness ($k_s/k=1$) by Eq.(20)

6. 結 論

本論文では、粗度後流の流れの構造及び流水抵抗の実験結果に基づいて、粗滑遷移領域における剥離構造と抵抗との関係を検討した。その結果を要約すれば、以下の通りである。

(1) 亂流の各領域の抵抗特性は粗度後流の剥離を生じるかどうかによって決定される。滑面では、粗度後流の剥離が生じず、粗面では剥離域が安定な区域になり、この間の遷移領域では剥離域はレイノルズ数 Re_* の関数になる。

(2) 粗度まわりの乱流構造が粗度から受ける影響範囲はレイノルズ数によって変化し、最大影響範囲は粗度下流ほぼ $x/k=12.5$ であり、粗度後流の剥離域の大きさは $x/k=7.5$ 以内である。

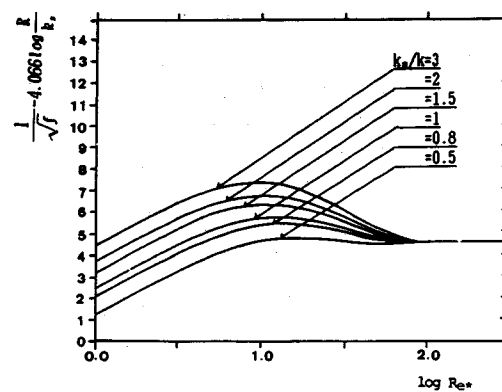


Fig.17 Predicted resistance coefficient with k_s/k by Eq.(20)

(3) 粗滑遷移領域における粗度後流の剥離域の境界線と剥離域内のゼロ流速線はレイノルズ数のもとで相似性を持つ。

(4) 粗度後流の剥離域の長さに基づいた棟粗度の抵抗式(20)を提案し、実験データによって検証した。提案式は滑面においてはレイノルズ数の関数になり、粗面においては相対粗度の関数になり、粗滑遷移領域においては Re と R/k_s と k_s/k の三つの関数になる。

(5) 提案された抵抗則式によって Nikuradse の管流の一様砂粒粗度の抵抗データを考察し、粗滑遷移領域における棟粗度の抵抗特性は砂粒粗度の場合と異なり、 k_s/k の影響が無視できないことを示した。

謝辞：本研究は平成4年度（財）日本科学協会笹川科学研究助成『粗滑遷移域における乱流構造に関する研究』の一部である。記して謝意を表します。

参 考 文 献

- Johnson, J.W. : Rectangular artificial roughness in open channel, Trans. A.G.U., Hydrology section Vol.25, pp.906~914, 1944.
- Powell, R.W. : Flow in a channel of definite roughness, Trans. ASCE, pp.531~566, 1944.12.
- Morris, H.M. Jr. : Flow in rough conduits, Trans. ASCE, Vol.120, pp.373~398, 1955.
- 足立昭平：人工粗度の実験的研究，土木学会論文報告集，No.104, pp.33~44, 1964.
- 山岡 勤：河床上の矩形粗度が水路の抵抗に及ぼす効果の研究，北海道開発局土木試験所報告，No.27, pp.1~55, 1963.
- Nikuradse, J. : Stromungsgesetze in rauhen röhren, Forschg. Arb. Ing.-Wes., No.361, 1933.
- Colebrook, C.F. : Turbulent flow in pipes with particular reference to the transition region between the smooth and rough laws, Jour. of Inst. Civil Eng., No.11, 1938.
- 高橋迪夫：水路床に存在する半球下流部の流れの構造に関する実験的研究，土木学会論文集，No.417/II-13,

- pp. 73~82, 1990.
- 9) Chen, C.K. and Roberson, J.A. : Turbulence in wakes of roughness elements, Proc. ASCE, Vol.100, No.HY 1, pp.53~67.
 - 10) Okamoto, S. : Turbulent shear flow behind a sphere placed on a plane boundary, Turbulent shear flows 2, Springer-Verlag, New York, pp.246~256, 1980.
 - 11) Okamoto, S. : Turbulent shear flow behind hemisphere-cylinder placed on a ground place, Turbulent shear flows 3, Springer-Verlag, New York, pp.171~185, 1982.
 - 12) 玉井信行・浅枝 隆・田中規夫 : 平板上の半球周りの流れの構造について, 第31回水理講演会論文集, pp. 371 ~376, 1987.
 - 13) 田中規夫 : 底面上の3次元並びに2次元物体後方の組織的渦構造の変動特性, ながれ, 10 (1991), pp. 93~105.
 - 14) Brownlie, W.R. : Re-Examination of Nikuradse roughness data, Jour. of Hyd. Divi. Proc. of ASCE, Vol.107, HY 1, pp.115~119, 1981.
 - 15) Morris, H.M. Jr. : Design methods for flow in rough conduits, Jour. of Hyd. Divi., Proc. of ASCE, Vol.85, No.HY 7, pp.43~62, 1959.
 - 16) Furuya, Y., Miyata, M. and Fujita, H. : Turbulent boundary layer and flow resistance on plates roughness by wires, Jour. of Fluids Eng., ASME, 1976.
 - 17) 古屋善正・藤田秀臣・中島洋 : 2次元針金粗面上の乱流境界層, 日本機械学会論文集(II), Vol. 33, No. 250, pp. 939~946, 1967.
 - 18) Yang, Y. and Daido, A. : Evaluation of open channel flow with varying aspect ratio and roughness ratio, Proc. of JSCE, No.457/II-23, pp.103~113, 1993.
 - 19) 橋津家久・中川博次ら : 開水路断落ち流れの流速回復過程と再付着点からの組織渦の放出特性, 第31回水理講演会論文集, pp. 413~418, 1987.
 - 20) Knight, D.W. and Macdonald, J.A. : Hydraulic Resistance of Artificial Strip Roughness, Jour. Hyd. Divi., ASCE, Vol.105, No.HY 6, pp.675~690, 1978.
- (1992.7.27 受付)

FLOW RESISTANCE OF STRIP ROUGHNESS IN SMOOTH-ROUGH TRANSITION REGION

Yongdi YANG and Atsuyuki DAIDO

The flow structure near strip roughness and flow resistance have been studied by experiments. It is shown that the flow resistance over strip roughness is depended on the separating process of roughness wake in smooth-rough transition region. On the basis of it, the characteristics of separation flow have been analyzed, and the formula of friction factor in smooth-rough transition region has been deduced by using the length of reverse flow zone as reference variable. Furthermore the difference of resistance between dense arrangement sand roughness and strip roughness has been discussed.